

# تحلیل فرایند کشش عمیق قطعات با شکل عمومی به کمک میدان خطوط لغزش

احمد عاصم پور (استادیار)

علیرضا فتحی (دانشجوی کارشناسی ارشد)

دانشکده‌ی مهندسی مکانیک، دانشگاه صنعتی شریف

در این نوشتار روشی جدید بر مبنای میدان خطوط لغزش برای تحلیل کشش عمیق<sup>۱</sup> کلیه‌ی قطعاتی که بتوان برای آنها میدان خطوط لغزش را ترسیم کرد، ارائه شده است. در این روش می‌توان گستردگی اولیه<sup>۲</sup> را برای قطعه محاسبه کرده و سپس میزان نیروی کشش و همچنین حد پارگی قطعه را پیش‌بینی کرد. اثرات اصطکاک، خم<sup>۳</sup> و واخم<sup>۴</sup> ورق، و خواص ماده در این روش لحاظ شده‌اند. مقایسه‌ی نتایج به دست آمده با نتایج آزمایشگاهی نشان داد که تطابق بسیار مناسبی بین این دو وجود دارد.

با توجه به مطالب بیان شده در مورد مکانیک تغییر شکل ماده در فرایند کشش عمیق، در این نوشتار پس از این که گستردگی اولیه‌ی ورق مشخص شد، به منظور تعیین نیروی لازم برای پانچ، پس از محاسبه‌ی مقدار کل انرژی مورد نیاز فرایند، و سپس با مساوی قرار دادن این انرژی با انرژی خارجی مقدار نیروی پانچ به دست می‌آید. در پایان نیز به کمک مدل‌های پیشنهاد شده در مورد ناپایداری خمیری ورق‌ها، مقدار کشش پذیری قطعات مشخص می‌شود.

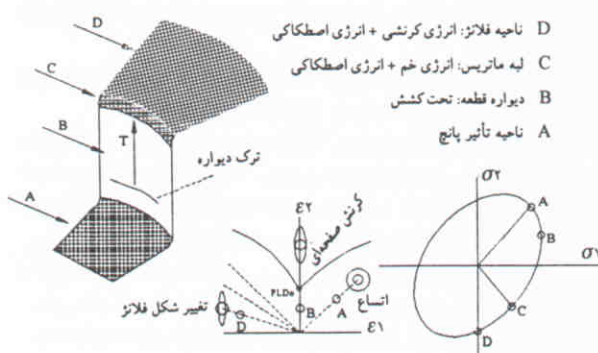
## مقدمه

از دیرباز کشش عمیق، به عنوان یکی از مهم‌ترین فرایندهای شکل‌دهی فلزات، مورد توجه بسیاری از محققین بوده است و تحلیل‌های زیادی به روش‌های مختلف برای آن ارائه شده است. در بین قطعات تولیدشده به این روش، قطعات غیراستوانه‌ی از پیچیدگی بسیار زیادی برخوردارند و تحلیل آنها برای امکان‌پذیر نیست. در این نوشتار روشی بر مبنای میدان خطوط لغزش برای تحلیل این قطعات ارائه شده است.

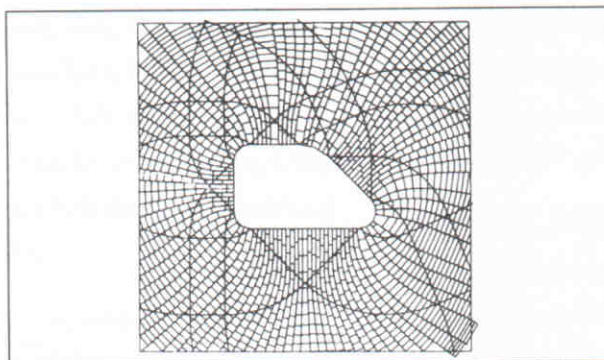
در شکل ۱، قطاعی از یک قطعه‌ی در حال کشش نشان داده شده است. مطابق این شکل، در این فرایند چهار منطقه‌ی مجزا وجود دارد که مکانیک تغییر شکل هر کدام با دیگری متفاوت است. در منطقه‌ی فلانتر<sup>۵</sup> (اله)، بیشترین انرژی برای تغییر شکل همگن<sup>۶</sup> و غلبه بر اصطکاک مصرف می‌شود. در منطقه‌ی شعاع انحنای لبه‌ی ماتریس، ورق یک بار در هنگام ورود به این منطقه و دیگری به هنگام خروج تحت خش خمیری قرار می‌گیرد. علاوه بر این، بین ورق و لبه‌ی ماتریس اصطکاک نیز وجود دارد. در منطقه‌ی دیواره‌ی قطعه، ماده تحت کشش قرار دارد و با توجه به این که پانچ مانع از تغییر شکل ماده در جهت محیطی می‌شود (قطر نمی‌تواند تغییر کند) حالت کرنش در این منطقه به صورت کرنش صفحه‌یی است. معمولاً بیشترین کاهش ضخامت ورق نیز در پایین منطقه‌ی دیواره صورت می‌گیرد.<sup>[۱]</sup> منطقه‌ی چهار از قسمت کف پانچ تشکیل شده است. ماده‌یی که در این ناحیه قرار دارد، به صورت یکنواخت از اطراف کشیده می‌شود.

تعیین گستردگی اولیه

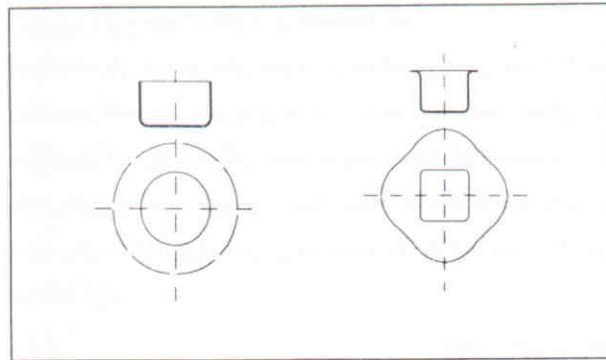
با توجه به فرض کرنش صفحه‌یی بودن فرایند، ضخامت ورق در کل فرایند ثابت است. از سوی دیگر، با فرض تراکم‌ناپذیر بودن ماده، سطوح بین حالت اولیه و نهایی ورق مساوی خواهد بود. از آنجا که



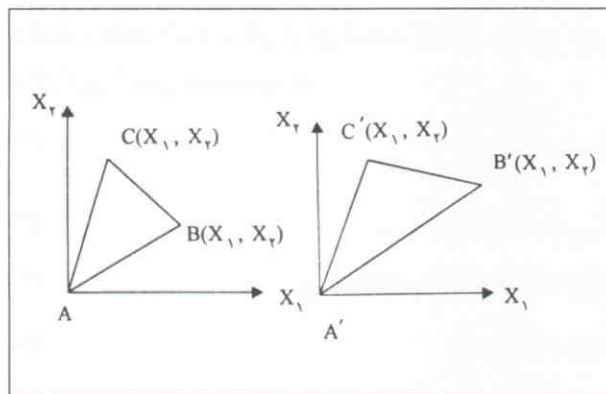
شکل ۱. مکانیک تغییر شکل ماده در فرایند کشش عمیق.



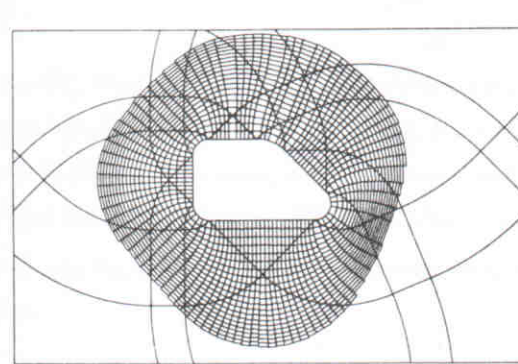
شکل ۴. شبکه‌بندی سطح فلانز برای حالت گستردگی اولیه از پیش تعیین شده.



شکل ۲. گستردگی اولیه محاسبه شده.



شکل ۵. شبکه‌بندی سطح فلانز برای حالت گستردگی اولیه محاسبه شده.



شکل ۳. شبکه‌بندی سطح فلانز برای حالت گستردگی اولیه محاسبه شده.

دارد. در نتیجه هیچ‌گونه انرژی در اثر وجود برش در مرز بین دو نوار ورقی مصرف نمی‌شود.

در فرایند کشش عمیق، نیروی کشش در دیواره از سه منبع اصلی مصرف انرژی نشأت می‌گیرد که به ترتیب عبارتند از: انرژی تغییر شکل ماده، انرژی لازم برای غلبه بر اصطکاک در محدوده فلانز و لبه‌ی ماتریس و نهایتاً انرژی خمش ورق روی لبه‌ی ماتریس.

برای محاسبه‌ی کرنش‌ها در سطح فلانز، این‌گونه عمل شده است که ابتدا سطحی از نوار ورقی که در محدوده فلانز قرار می‌گیرد، به المان‌های متساوی السطح تقسیم شده است و سپس با فرض ثابت بودن ضخامت ورق، می‌توان گفت که موقعیت هر المان در گام بعدی حرکت پانچ، همان المان جلوی آن خواهد بود. به این ترتیب می‌توان موقعیت هر المان را در هر گام از حرکت پانچ روی سطح فلانز ردیابی کرد. حال با مشخص بودن موقعیت اولیه و موقعیت تغییر شکل یافته‌ی هر المان، می‌توان کرنش‌ها را محاسبه کرد (شکل ۳). همین مسئله برای حالتی که گستردگی اولیه از پیش تعیین شده باشد در شکل ۴ نشان داده شده است.

**محاسبه‌ی کرنش‌های اصلی**  
شکل ۵ حالت اولیه و نهایی یک المان مثالی را پس از فرایند تغییر

خطوط جریان به کمک میدان خطوط لغزش مشخص‌اند می‌توان پیش‌بینی کرد که هر قسمت از سطح گستردگی اولیه (سطح بین دو خط جریان) چه سطحی از قطعه‌ی نهایی را تشکیل می‌دهد. لذا با مشخص بودن شکل نهایی قطعه، مقدار سطح لازم به منظور پوشش قطعه مشخص می‌شود و با فرض تساوی سطوح می‌توان لبه‌ی گستردگی اولیه را مشخص کرد.

در شکل ۲، گستردگی اولیه برای چند قطعه‌ی مختلف محاسبه شده است. با توجه به این که در عمل، ضخامت ورق ثابت نیست، لذا گستردگی اولیه حاصل، با فرض ضخامت ثابت، کمی بیشتر از مقدار واقعی خواهد بود.

**محاسبه‌ی انرژی تغییر شکل همگن در محدوده فلانز**  
در این مدل برای محاسبه‌ی نیروی پانچ، ابتدا کل قطعه به کمک میدان خطوط جریان به چندین نوار ورقی (قسمتی از سطح ورق که بین دو خط جریان مجاور قرار دارد) تقسیم می‌شود و سپس هر یک از نوارهای ورقی به طور مستقل مورد تجزیه و تحلیل قرار می‌گیرد. صحت این کار از آن روست که راستای خطوط جریان در جهت بزرگ‌ترین تنفس اصلی است، لذا هیچ‌گونه تنفس بر Shi در مرز بین دو نوار ورقی وجود ندارد و فقط تنفس نرمال عمود بر سطح در مرز وجود

### انرژی لازم جهت غلبه بر اصطکاک

اصطکاک یکی از متغیرهای مهم در فرایند کشش عمیق است که تأثیر زیادی در کشش پذیری ورق دارد. از آنجاکه فشار اعمالی به سطح ورق از طریق ورق گیر — در مقایسه با استحکام تسلیم ماده — مقدار ناچیزی است، می‌توان از مدل اصطکاک خشک برای تحلیل و محاسبه‌ی مقدار انرژی مصرفی در محدوده‌ی فلانز و لبه‌ی ماتریس استفاده کرد.

$$dF_f = \mu P_{BH} dA \quad (11)$$

$$F_f = \int_{A_{element}} dF_f \quad (12)$$

در شکل ۶ نحوه‌ی مدل‌کردن اصطکاک در لبه‌ی ماتریس نشان داده شده است. اصطکاک بین لبه‌ی ماتریس و ورق به صورت انرژی وارد محاسبات نشده، بلکه به همان صورت ارائه شده در شکل ۶ در نظر گرفته شده است. مقدار نیروی  $F$  ابتدا به کمک انرژی به دست آمده از روی تغییر شکل همگن و اصطکاک در سطح فلانز، تعیین می‌شود.

### انرژی برای خم و واخم ورق روی لبه‌ی ماتریس

پدیده‌ی مهم دیگری که در فرایند کشش عمیق وجود دارد، پدیده‌ی خم و واخم ورق به هنگام عبور از روی لبه‌ی ماتریس است، در این نوشتار با الهام از قسمت محاسبه‌ی انرژی تغییر شکل، روشی جدید برای تحلیل و محاسبه‌ی مقدار انرژی خم ارائه شده است که در ادامه به شرح آن می‌پردازیم.

شکل ۷ نمای برش خورده‌ی از مقطع یک ورق راکه در حال عبور از روی لبه‌ی ماتریس است نشان می‌دهد. مطابق این شکل، ابتدا مقطع ورق به چندین المان متساوی‌السطح شبکه‌بندی می‌شود. برای هر المانی که وارد محدوده‌ی لبه‌ی ماتریس می‌شود، اگر محل تار خنثی مشخص بوده و فرض کرنش صفحه‌ی بودن برقرار باشد، می‌توان شکل تغییریافته‌ی المان را پیش‌بینی کرد. این مطلب در شکل ۸، برای حالتی که تار خنثی در مرکز ورق قرار دارد، نشان داده شده است. با توجه به این که مختصات اولیه و نهایی المان مشخص است می‌توان به کمک مدل پیشنهادی جهت محاسبه‌ی کرنش‌های اصلی و سپس تنش‌ها و انرژی، مقدار انرژی خم و واخم را بدست آورد. با توجه به این که شعاع انحنای المان در حین حرکت از روی لبه‌ی ماتریس تغییری نمی‌کند، حرکت آن به صورت صلب بوده ولذا هیچ‌گونه انرژی (به جز انرژی اصطکاکی) مصرف نمی‌کند. لازم به ذکر است که با وجود شبکه‌بندی کل قطعه، زمان محاسبات زیاد نیست زیرا کلیه‌ی محاسبات فقط برای یک المان صورت گرفته و در نهایت

شکل همگن نشان می‌دهد.<sup>[۲]</sup> با توجه به این که حرکت انتقالی صلب‌گونه‌ی المان، در مقدار کرنش آن تأثیری ندارد، مبدأ مختصات هر دو المان یکسان انتخاب شده است. مطابق شکل ۵، مختصات جدید ( $x_1, x_2$ ) هر نقطه را می‌توان بر حسب مختصات اولیه ( $X_1, X_2$ ) و به کمک رابطه‌ی زیر بدست آورد:

$$\begin{aligned} x_1 &= a_{11}X_1 + a_{12}X_2 \\ x_2 &= a_{21}X_1 + a_{22}X_2 \end{aligned} \quad (1)$$

در حالت کلی  $a_{12} \neq a_{21}$  است. این چهار ضریب برای تمام نقاط این المان مقدار ثابتی دارد که به کمک مختصات نقاط'  $C'$  تعیین می‌شود.

به کمک رابطه‌ی ۱ و با در نظر گرفتن قسمت غیرخطی تانسور تغییر شکل گرین<sup>۷</sup> چنین بدست می‌آید:

$$C_{ij} = \frac{\partial X_k}{\partial X_i} \frac{\partial X_k}{\partial X_j} \quad (2)$$

$$C_{11} = a_{11}^2 + a_{21}^2 \quad (3)$$

$$C_{12} = C_{21} = a_{11}a_{12} + a_{21}a_{22} \quad (4)$$

$$C_{22} = a_{22}^2 + a_{12}^2 \quad (5)$$

مقادیر ویژه‌ی تانسور تغییر شکل گرین، مربع مقادیر کشنش اصلی اند.

$$\lambda_{11}, \lambda_{22} = \frac{c_{11} + c_{22}}{2} \pm \sqrt{\left[ \frac{c_{11} - c_{22}}{2} \right]^2 + c_{12}^2} \quad (6)$$

کرنش‌های اصلی سطحی نیز عبارت اند از:

$$\varepsilon_{11} = \ln(\lambda_{11}) \quad (7)$$

$$\varepsilon_{22} = \ln(\lambda_{22}) \quad (8)$$

مقدار کرنش اصلی سوم نیز با توجه به فرض تراکم‌ناپذیر بودن ماده از رابطه‌ی زیر بدست می‌آید:

$$\varepsilon_{33} = \varepsilon_{11} + \varepsilon_{22} + \varepsilon_{12} = 0 \quad (8)$$

در نهایت مقدار کرنش معادل از رابطه‌ی ۹ محاسبه می‌شود.

$$d\bar{\varepsilon} = \sqrt{\frac{2}{3} \left[ \frac{2+r}{(1+2r)^2} \left\{ \varepsilon_1^2 + \varepsilon_2^2 + r(\varepsilon_1 - \varepsilon_2)^2 \right\} \right]}^{1/2} \quad (9)$$

برای محاسبه‌ی انرژی یک المان باید ابتدا کرنش اولیه و کرنش جدید آن (در اثر جابه‌جایی به موقعیت جدید) محاسبه شود و سپس با انتگرال‌گیری روی کل حجم المان مقدار انرژی تغییر شکل آن محاسبه شود.

$$W = \int \sigma_{ij} d\varepsilon_{ij} = \int_{\varepsilon_1}^{\varepsilon_2} f(\varepsilon_{ij}) d\varepsilon_{ij} \quad (10)$$

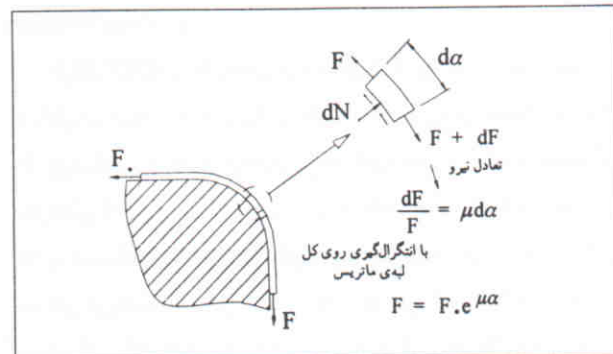
در رابطه‌ی فوق،  $W$  انرژی تغییر شکل در واحد حجم است که برای به دست آوردن کل انرژی المان باید روی کل حجم المان انتگرال‌گیری شود.

نتیجه در تعداد المان‌ها ضرب می‌شود.

طبق تحلیل‌های انجام شده چنین مشخص شد که اگر طول المان به اندازه‌یی انتخاب شود که رابطه‌ی ۱۳ بین اجزاء المان برقرار باشد، انرژی به دست آمده مقدار قابل قبولی خواهد داشت (با خطای کمتر از  $30^\circ$  درصد).

$$\phi \leq \frac{\theta}{R+T} \quad (13)$$

در رابطه‌ی فوق  $R$  شعاع لبه‌ی ماتریس و  $T$  ضخامت ورق است و هر دو باید به صورت میلی‌متر در رابطه استفاده شود.  $\phi$  نصف زاویه‌ی المان تغییر‌شکل یافته است.



شکل ۶. مدل‌سازی اصطکاک در ناحیه‌ی لبه‌ی ماتریس.

**محاسبه‌ی نیروی پانچ در دیواره**  
طبق شکل ۹، اگر فقط سطح فلانز (از لبه‌ی فلانز تا محل انجناه لبه‌ی ماتریس) مدل شود، به کمک اصل تعادل انرژی مقدار نیروی  $F_{eq}$  چنین محاسبه می‌شود.

$$F_{eq}^1 = W_{homogenous}^{flange} + W_{friction}^{flange} + W_{bending} \quad (14)$$

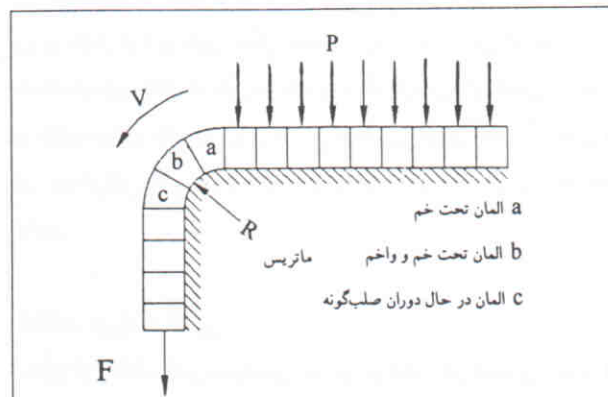
در رابطه‌ی فوق  $W_{bending}$  مقدار جابه‌جایی نقطه‌ی ۱ از شکل ۹ است. لازم به ذکر است که  $F_{eq}^1$  مقدار متوسط نیرو در مقطع ۱ است. اگر ضخامت ورق ثابت فرض شود، می‌توان مقدار جابه‌جایی  $\Delta u$  را بر حسب مقدار جابه‌جایی پانچ بدست آورد.

بعد از این که یک المان سطح فلانز را طی کرد، وارد محدوده‌ی لبه‌ی ماتریس می‌شود. بدعت وجود اصطکاک نیروی کششی آن مطابق رابطه‌ی ۱۵ افزایش پیدا می‌کند. مطابق شکل ۹ نیروی کششی ورق در مقطع ۲ چنین است.

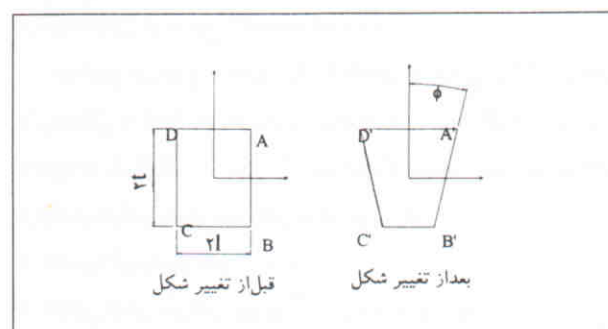
$$F_{eq}^2 = F_{eq}^1 \cdot e^{\mu\alpha} \quad (15)$$

در پایان، انرژی لازم واخم ورق به صورت زیر لحظه می‌شود:

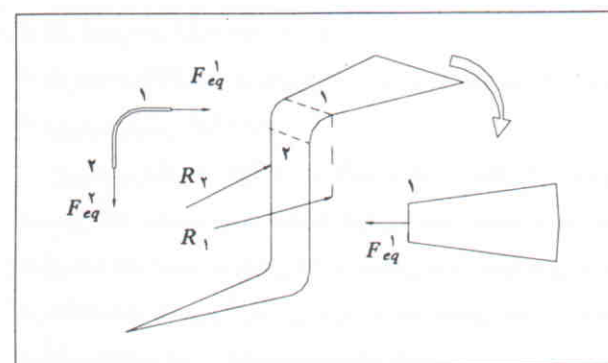
$$F_{punch} = F_{eq}^2 + \frac{W_{unbending}}{\Delta u_{punch}} \quad (16)$$



شکل ۷. نمای برش خورده‌ی ورق در هنگام عبور از روی لبه‌ی ماتریس.



شکل ۸. شکل اولیه و تغییر یافته در اثر خمش روی لبه‌ی ماتریس.



شکل ۹. نمودار آزاد یک نوار ورقی.

**مقایسه‌ی نتایج تحلیلی و عددی**  
قطعات استوانه‌بی  
در این قسمت توانایی مدل پیشنهادی در تحلیل کشش عمیق مواد مختلف برای حالت قطعات استوانه‌بی نشان داده خواهد شد. با توجه به این که مدل پیشنهادی قادر به محاسبه‌ی توزیع تغییرات ضخامت نیست، فقط متغیرهای نیرو و مقدار کاهش قطر فلانز بر حسب جابه‌جایی پانچ مقایسه خواهد شد.<sup>[۲]</sup> جدول ۱ مشخصات مواد و شکل ۱۰ هندسه‌ی ابزار و قطعه‌ی مورد استفاده در آزمایش را نشان می‌دهد. گسترده‌ی اولیه در این آزمایش، به شکل دایره‌بی با قطر

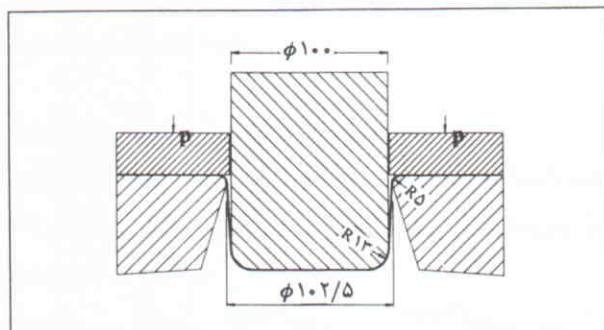
۲۰۰ mm بوده است.

فولاد (DD) از خانواده فولادهای کمکردن است و مورد مصرف زیادی در صنعت خودروسازی دارد. مقدار نیروی اعمال شده از طریق ورق گیر در حین آزمایش  $KN = 80$  بوده است. ضریب اصطکاک متوسطی که در مدل عددی از آن استفاده شده عبارت است از:  $\mu = 0.15$ . شکل ۱۱ نیز مقدار کاهش قطر فلاتر بر حسب جابه‌جایی پانچ را به صورت تابعی از حرکت آن نمایش می‌دهد. در شکل ۱۲ نیز مقدار کاهش قطر فلاتر بر حسب نتایج عددی و آزمایشگاهی به خوبی مطابقت دارند.

این نشان می‌دهد که فرض کرنش صفحه‌یی بودن تأثیر زیادی روی مقدار انرژی تغییر شکل ندارد، زیرا با فرض ثابت بودن ضخامت، این مقدار کرنش در مقادیر دیگر کرنش‌های اصلی اثر خود را نشان خواهد داد. زیرا با فرض تراکم ناپذیر بودن ماده، اگر یکی از این سه کرنش صفر شود، مقدار دو کرنش دیگر قطعاً افزایش خواهد یافت.

جدول ۱. خواص ورق مورد استفاده در آزمایش.

ضخامت ورق	$r$	K(Mpa)	$n$	جنس
۰/۷	۱/۶۵	۵۴۷	۰/۱ ۸	DD
۰/۷	۰/۹۵	۱۰۵۹	۰/۱ ۸	HS
۰/۷	۰/۸۵	۸۹۵	۰/۴ ۲	BR



شکل ۱۰. هندسه ابزار و قطعه مورد استفاده برای آزمایش کشش عمیق.

### قطعات غیراستوانه‌یی

منظور از قطعات غیراستوانه‌یی در این نوشتار، هر قطعه‌یی است که قابلیت ترسیم میدان خطوط لغزش را داشته باشد. در این قسمت برای شناسایی رفتار مدل در تحلیل قطعات غیراستوانه‌یی، از داده‌های آزمایشگاهی در مرجع ۴ استفاده شده است.

در این مرجع، تحلیل یک قطعه‌یی جعبه‌یی با گستردگی دایره‌شکل، به کمک اجزاء محدود بیان شده است. شکل هندسی ابزار به صورت شماتیک در شکل ۱۳ نشان داده شده است. متغیرهای فرایند و خواص ورق مورد نظر به شرح زیرند:

۱. جنس: آلومینیوم - فولاد آرام؛

۲. منحنی تنش - کرنش:  $\sigma = 50.8 / \sqrt{e} \text{ Mpa}$ ؛

۳. ناهمسانی به هنجار:  $\epsilon = 1/867$ ؛

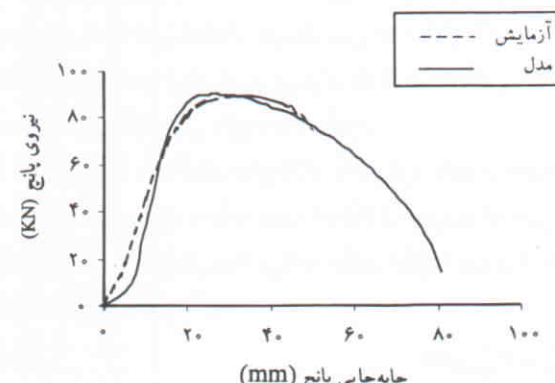
۴. ضخامت ورق:  $0.8 \text{ mm}$ ؛

۵. قطر گستردگی اولیه:  $d_0 = 90 \text{ mm}$ ؛

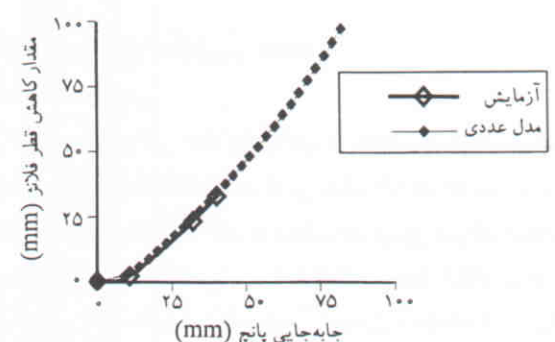
۶. ضریب اصطکاک: روی پانچ  $\mu = 0.24$  و روی ماتریس  $\mu = 0.02$ ؛

۷. نیروی ورق گیر:  $8.0 \text{ Kgf}$ ؛

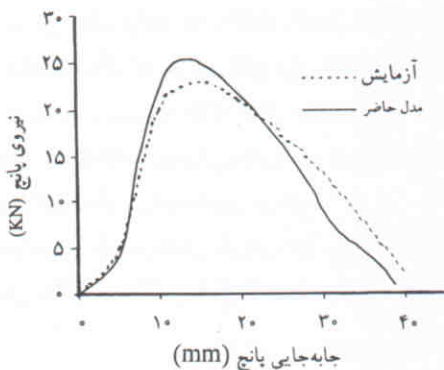
نیروی ورق گیر در طول فرایند ثابت است. در شکل ۱۴، شکل هندسی قطعه به همراه میدان خطوط لغزش و میدان خطوط جریان نشان داده شده است. در شکل ۱۵ نیز منحنی نیرو - جابه‌جایی پانچ دو حالت مدل عددی و آزمایشگاهی آورده شده، تطابق خوب نتایج تحلیلی با نتایج تجربی نشان دهنده قدرت این روش در تخمین نیروی کشش است.



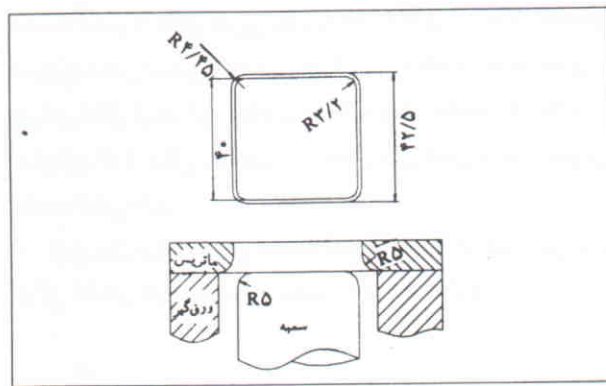
شکل ۱۱. منحنی عددی و آزمایشگاهی نیروی پانچ بر حسب جابه‌جایی پانچ.



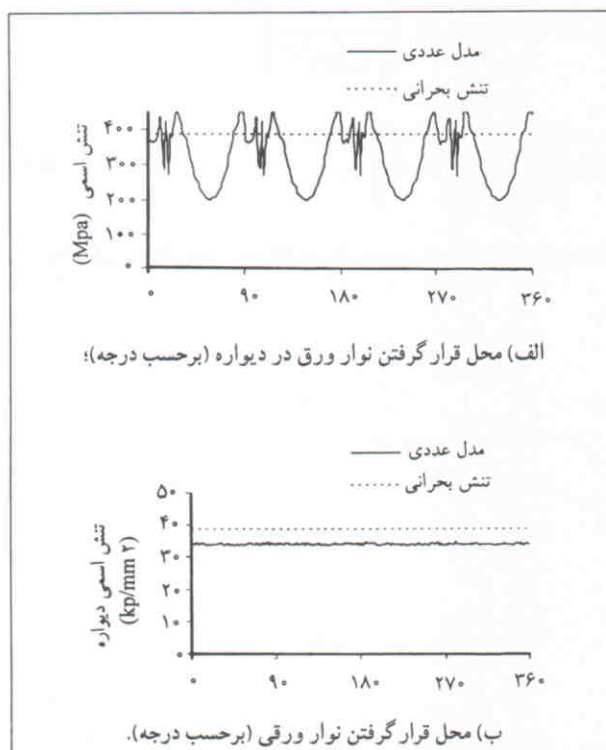
شکل ۱۲. منحنی عددی و آزمایشگاهی مقدار کاهش قطر فلاتر بر حسب جابه‌جایی پانچ.



شکل ۱۵. مقایسه منحنی نیروی جابه‌جایی بدست آمده از مدل عددی و آزمایش برای یک قطعه‌ی مربع شکل از گسترده‌ی اولیه‌ی دایره‌ی.



شکل ۱۳. هندسه‌ی ابزار مورد استفاده در کشش عمیق قطعه‌ی جعبه‌ی شکل با گسترده‌ی دایره‌ی.



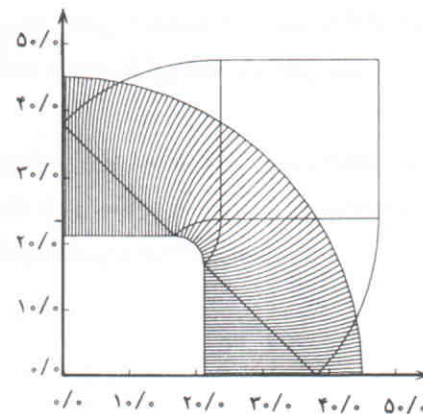
شکل ۱۶. مقایسه‌ی نیروی کشش بدست آمده از مدل با مقدار مجاز: (الف) برای یک قطعه‌ی جعبه‌ی شکل، (ب) برای یک قطعه‌ی استوانه‌ی.

برای ماده‌ی که مشخصه‌ی کار سختی آن  $\sigma^n = K(\bar{\epsilon} + \bar{\epsilon}_0)^n$  باشد، کرنش و تنش در شرایط ناپایداری خمیری از رابطه‌ی زیر بدست می‌آیند:

$$\bar{\epsilon}_i = n - \bar{\epsilon} \quad (18)$$

$$\bar{\sigma}_i = Kn^n \quad (19)$$

ناپایداری تحت کشش کرنش صفحه‌ی المانی از ورق که در محل تلاقي قسمت استوانه‌ی پانچ و نوک پانچ



شکل ۱۴. شکل هندسی قطعه، خطوط لغزش و خطوط جریان برای قطعه‌ی تحلیل شده.

### پیش‌بینی پارگی

از مشاهدات تجربی چنین بدست می‌آید که در فرایند کشش عمیق دو منطقه‌ی بحرانی برای شروع پارگی در قطعه وجود دارد: یکی در فلازی که تحت کشش تک محوری است و دیگری در دیواره‌ی تحت کشش کرنش صفحه‌ی.

ناپایداری خمیری تحت کشش تک محوری در فلاز

در لبه‌ی فلاز یک قطعه‌ی در حال کشش عمیق تنش محیطی بیشترین مقدار فشاری خود را دارد. با حرکت به سمت حرفه‌ی ماتریس، تنش شعاعی افزایش می‌یابد ولی از مقدار فشاری تنش محیطی کاسته می‌شود، تا جایی که در نقطه‌ی نزدیک لبه‌ی ماتریس تنش محیطی به صفر می‌رسد، سپس این مقدار افزایش می‌یابد تا آنچه که تنش محیطی دیواره مقدار مثبتی شود. در این نقطه حالت تنش به صورت کشش تک محوری است. شرط ایجاد ناپایداری خمیری در این کشش چنین است:

$$\frac{d\sigma}{d\epsilon} = \bar{\sigma} \quad (17)$$

به دست آمد و با نتایج تجربی مقایسه شد. شکل ۱۶ نشان دهندهٔ توزیع تنش اسمی و تنش بحرانی در قطعات استوانه‌بی و جعبه‌بی‌شکل است. این قطعات عملاً دچار شکست شده‌اند، و همان‌طور که از شکل مشخص است مقدار تنش اسمی با مقدار بحرانی تفاوت اندکی دارد.

طبق مدل فوق و نتایج به دست آمده از مدل ارائه شده می‌توان پارگی قطعه‌ی کار را با حداقل دقت ۹۰٪ محاسبه کرد.

### نتیجه‌گیری

مدل ارائه شده قادر به محاسبه‌ی گستره‌هی اولیه است. طبق نتایج به دست آمده از این تحلیل، به کمک این مدل می‌توان با دقت بسیار مناسب نیروی کشش را محاسبه کرد. سپس به کمک نیروی کشش به دست آمده می‌توان پارگی قطعه را با دقیقیتی بیش از ۹۰٪ پیش‌بینی کرد.

در این روش زمان محاسبه کوتاه است و همچنین می‌توان کلیه‌ی خواص ماده را در تحلیل آن لحاظ کرد. تنها محدودیت این روش عدم محاسبه‌ی تغییرات ضخامت است.

قرار دارد، در کل زمان فرایند تحت کشش کرنش صفحه‌بی است. از طرفی در حالت ایده‌آل، کل نیروی لازم برای کشش قطعه از طریق این المان به دیواره و سپس به فلاز منقل می‌شود. با وجود این محدودیت‌ها، نسبت کشش بحرانی با وجود شرایطی که باعث ناپایداری در این المان می‌شود تعیین می‌شود.

برای موادی که رابطه‌ی تنش-کرنش آنها برابر  $(\bar{\epsilon} + \bar{e})^n = K$  است، کرنش معادل در لحظه‌ی ناپایداری خمیری برابر است با:

$$\bar{\epsilon} = \frac{1+r}{(1+2r)^{1/2}} n - \bar{e}. \quad (20)$$

نیروی بحرانی در هر نوار ورق از رابطه‌ی زیر به دست می‌آید:

$$P_c = W \cdot t \cdot (n)^n \cdot K \cdot \left[ \frac{1+r}{(1+2r)^{1/2}} \right]^{n+1} \exp \left[ \frac{(1+2r)^{1/2}}{(1+r)} - n \right] \quad (21)$$

به کمک روابط فوق، حد کشش پذیری برای قطعات مختلف

### پابوشت

1. deep drawing
2. primary distributed
3. bending
4. unbending
5. flange zone
6. isotropic deformation
7. green's deformation tensor
8. aluminum - killed Steel
9. normal anisotropy

### منابع

1. Johnson, W., Mellor, P.B., Engineering Plasticity, Ellis

- Horwood Ltd, (1983).
2. Sowerby, R., Chu, E., Duncan, J. L., "Determination of Large Strain in Metal forming", *Journal of Strain Analysis*, 17(2), (1982).
3. Saran, M. J., Schedin, E., Samuelsson, A., and Melander, A., "Numerical Experimental Investigation of Deep Drawing of Metal Sheets", *Journal of Engineering for Industry*, 112, (August 1990).
4. Yang, D.Y., Chung, W. J. and Shim, H. B., "Rigid-Plastic Finite Element Analysis of Sheet Metal Forming Processes With Initial Guess Generation", *Int J. Mech. Sci.*, 32(8), pp. 687-708, (1990).